

Rebond de une goutte d'eau
(Thèmes PC 2013)

I) Formes des gouttes.



$$V = \frac{4}{3}\pi r^3$$

$$S = 4\pi r^2 + 2\pi r e$$

$$\boxed{S = 2\pi r^2 \left(1 + \frac{e}{r}\right)}$$

$$E_{p,f} = AS = 2\pi r^2 A + \frac{2\pi r^2 e \cdot A}{r}$$

$$\boxed{E_{p,f} = 2\pi r^2 A + \frac{2AV}{r}}$$

$$2) \frac{dE_{p,f}}{da} = 4\pi r A - \frac{2AV}{r^2}$$

$$\boxed{\left[\begin{array}{l} l_0 = 2a_0 \\ \uparrow \end{array}\right]}$$

$$V = 2\pi r_0^3 = \pi r_0^2 h$$

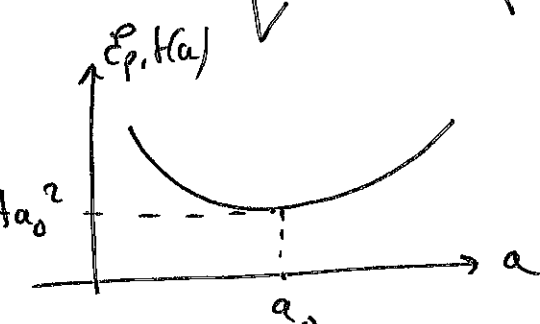
$$\left(\frac{dE_{p,f}}{da}\right)_{a_0} = 0 = 4\pi r_0 A - \frac{2AV}{r_0^2}$$

$$a_0^3 = \frac{2AV}{4\pi A} \Rightarrow \boxed{a_0 = \left(\frac{V}{2\pi}\right)^{1/3}}$$

$$\frac{d^2E_{p,f}}{da^2} = 4\pi A + \frac{4AV}{a^3}$$

$$\left(\frac{d^2E_{p,f}}{da^2}\right)_{a_0} = 4\pi A + 4AV \times \frac{2\pi}{a_0^3} = 4\pi A(1+2)$$

$$\left(\frac{d^2E_{p,f}}{da^2}\right)_{a_0} > 0 \rightarrow$$



3) localement on peut faire un DL de Taylor à l'ordre 2 :

$$E_{p,f}(a) = E_{p,f}(a_0) + (a-a_0)\left(\frac{dE_p}{da}\right)_{a_0} + \frac{1}{2}(a-a_0)^2 \left(\frac{d^2E_p}{da^2}\right)_{a_0}$$

$$E_{p,f}(a) = E_{p,f}(a_0) + \frac{1}{2}(a-a_0)^2 \times 12\pi A$$

$$\boxed{E_{p,f}(a) = 6\pi A(a-a_0)^2 + E_{p,f}(a_0) \Leftrightarrow \frac{1}{2}k(l-l_0)^2}$$

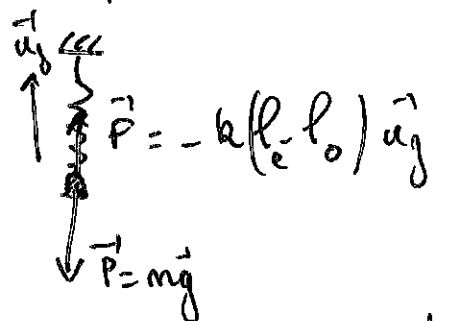
$$k \Leftrightarrow 12\pi A$$

$$k = 12\pi \times 7 \cdot 10^{-2}$$

$$l_0 \Leftrightarrow a_0 = 1,0 \cdot 10^{-3} m$$

$$\boxed{k = 2,6 \text{ N/m}}$$

pour un ressort de référence qui s'allonge de $\Delta l = 1 \text{ cm}$ lorsqu'on lui suspend une masse de $100g = m$



à l'équilibre

$$\sum \vec{F} = \vec{0}$$

$$mg = k(l_e - l_0)$$

$$k = \frac{mg}{\Delta l} = \frac{0,1 \times 9,8}{1 \cdot 10^{-2}} = 98 \text{ N/m}$$

Cette valeur est bien supérieure à celle de la goutte. (Intérêt du commentaire ?)

$$4) E_{p,g} = mg g_c = \mu_e V g \times \frac{e}{2} = \mu_e V g \times \frac{V}{2d\pi}$$

$$\text{Or } V = 2\pi a_0^3$$

$$E_{p,g} = \frac{\mu_e \times 4\pi g a_0^6}{2a^2 \pi} = \frac{2\pi \mu e g a_0^6}{a^2} = E_{p,g}$$

$$5) E_p = E_{p,t} + E_{p,g} = 2\pi a^2 A + \frac{2AV}{a} + \frac{2\pi \mu e g a_0^6}{a^2}$$

$$\frac{dE_p}{da} = 4\pi a A - \frac{2AV}{a^2} - \frac{4\pi \mu e g a_0^6}{a^3}$$

$$\left(\frac{dE_p}{da} \right)_{a_1} = 0 \text{ssi} \quad 4\pi a_0 (1+\varepsilon) - \frac{2AV}{a_0^2 (1+\varepsilon)^2}$$

$$- \frac{4\pi \mu e g a_0^6}{a_0^3 (1+\varepsilon)^3} = 0$$

$$0 = 4\pi a_0 (1+\varepsilon) - 4\pi a_0 A (1-\varepsilon) - 4\pi a_0^3 \mu e g (1-3\varepsilon)$$

$$A(1+\varepsilon) - A(1-2\varepsilon) - a_0^3 \mu e g (1-3\varepsilon) = 0$$

$$\varepsilon (A + 2A + 3a_0^2 \mu e g) = a_0^3 \mu e g$$

$$\boxed{\varepsilon = \frac{a_0^3 \mu e g}{3A + 3a_0^2 \mu e g}}$$

$$\text{AN: } \varepsilon = \frac{(1,0 \cdot 10^{-3})^2 \times 1,0 \cdot 10^3 \times 9,8}{3 \times 7,0 \cdot 10^{-2} + 3 \times (1,0 \cdot 10^{-3})^2 \times 1,0 \cdot 10^3 \times 3,8}$$

$$\varepsilon = 0,041 \ll 1$$

$\varepsilon > 0 \Rightarrow a_1 > a_0$ écrasement de la goutte lors du choc.

II Modèle mécanique du ressort

6) Syst: { la goutte }

À $t=0$, la longueur du ressort est égale à la longueur à vide. Or le patin est de masse nulle donc la longueur à vide est égale à la longueur à l'équilibre. (pas d'elongation du ressort par le patin)

le système ne subit pas d'action extérieure autre que son poids (en particulier à frottements de l'air) donc pas de déformation du système

$$\boxed{e(t) = e_0 = \text{cte}}$$

7) Pour les mêmes raisons (pas d'autres forces que le poids), le système est en chute libre.

$g(t) = -\frac{1}{2}gt^2 (h + e_0)$ le système touche le sol pour $g(t_0) = e_0$

$$e_0 t_0 h - e_0 = \frac{1}{2}gt_0^2 \Leftrightarrow t_0 = \sqrt{\frac{lh}{g}}$$

$$v(t_0) = \sqrt{-gt_0} \rightarrow \boxed{v_0 = \sqrt{2gh}}$$

$$v_0 = \sqrt{2 \times 9,8 \times 10 \cdot 10^2} = 1,4 \text{ m/s}$$

8) PFD sur la masse dans R_T galiléen:

$$m \frac{d^2 \vec{u}_j}{dt^2} = \vec{m}g - \vec{f}_e(t) \vec{u}_j - k(e(t) - e_0) \vec{u}_j$$

négligé.

$$\rightarrow \vec{u}_j \quad m \ddot{\vec{u}}_j = -\vec{f}_e - k(\vec{e} - \vec{e}_0)$$

$$\text{On pose } \vec{E} = \vec{e}(t) - \vec{e}_0$$

Comme le patin touche le sol $g(t) = e(t)$

$$\dot{\vec{E}} + \frac{f}{m} \vec{E} + \frac{k}{m} \vec{E} = 0$$

$$\text{On pose } \begin{cases} \frac{w_0}{Q} = \frac{f}{m} \\ Q = \frac{1}{f} \sqrt{km} \end{cases}$$

$$w_0^2 = \frac{k}{m} \rightarrow \boxed{w = \sqrt{\frac{k}{m}}}$$

g) On résout l'éq. diff:

$$\Delta = \frac{\omega_0^2}{Q^2} - 4\omega_0^2 = \omega_0^2 \left(\frac{1}{Q^2} - 4 \right)$$

Or $Q^2 \gg 1$ Donc $\Delta < 0 \rightarrow$ régime pseudo périodique.

polynôme caractéristique:

$$r^2 + \frac{\omega_0}{Q} r + \omega_0^2 = 0$$

$$\hookrightarrow r_{\pm} = \frac{-\frac{\omega_0}{Q} \pm j\sqrt{\omega_0^2(4 - \frac{1}{Q^2})}}{2} \approx -\frac{\omega_0}{2Q} \pm j\omega_0$$

$$E(t) = \alpha e^{r_+ t} + \beta e^{r_- t}$$

$$\text{Soit } E(t) = e^{-\frac{\omega_0 t}{2Q}} [B \cos(\omega_0 t) + C \sin(\omega_0 t)]$$

$$\dot{E}(t) = -\frac{\omega_0}{2Q} e^{-\frac{\omega_0 t}{2Q}} [B \cos(\omega_0 t) + C \sin(\omega_0 t)]$$

$$+ \exp\left(-\frac{\omega_0 t}{2Q}\right) [-B\omega_0 \sin(\omega_0 t) + C\omega_0 \cos(\omega_0 t)]$$

$$\text{CI: } E(t=0) = 0 = B$$

$$E(t=0) = -v_0 = -\frac{\omega_0}{2Q} B + C\omega_0 \cdot$$

$$\hookrightarrow C = -\frac{v_0}{\omega_0}$$

$$\text{Finallement } E(t) = -\frac{v_0}{\omega_0} \exp\left(-\frac{\omega_0 t}{2Q}\right) \sin(\omega_0 t)$$

1o) Un extremum local est atteint par $E(t)$

en $t=T_n$ pour $\sin(\omega_0 T_n) = 1$

$$\text{i.e. } \omega_0 T_n = (n+1)\frac{\pi}{2} \Leftrightarrow T_n = \frac{(n+1)\pi}{2\omega_0} n \in \mathbb{N}$$

$$E(T_n) = -\frac{v_0}{\omega_0} \exp\left(-\frac{\omega_0}{2Q} \times \frac{(n+1)\pi}{2\omega_0}\right)$$

$$E(T_n) = -\frac{v_0}{\omega_0} \exp\left(-\frac{(n+1)\pi}{2Q}\right)$$

L'oscillation est perceptible si $|E(T_n)| > |E(T_0)|$

$$\frac{v_0}{\omega_0} \exp\left(-\frac{(n+1)\pi}{2Q}\right) > \frac{v_0}{\omega_0} \exp\left(-\frac{\pi}{2Q}\right) < \frac{1}{10}$$

$$\frac{(n+1)\pi}{2Q} < \ln\left(\frac{1}{10} \exp\left(-\frac{\pi}{2Q}\right)\right) = \frac{\pi}{2Q} - \ln 10$$

$$n+1 > \frac{2Q}{\pi} \left(\frac{\pi}{2Q} + \ln 10 \right)$$

$$n > \frac{2Q \ln 10}{\pi} = \frac{10 \cdot \ln 10}{\pi} = 7,3$$

$$\boxed{n = 7}$$

11) lorsque la goutte est en contact avec le sol,

BFE au niveau du patin :

$$\vec{O} = \vec{R} - f\vec{e}(t)\vec{u}_y - k(e(t) - e_0)\vec{u}_y$$

$$\vec{u}_y \cdot \vec{R} - f\vec{e} \cdot \vec{u}_y - k\vec{e} = 0$$

$$\| R = f\vec{e} + k\vec{e}$$

12) Condition de décollement : $R = 0$

$$\sin(\omega_0 \tau) + \frac{1}{Q} \cos(\omega_0 \tau) = 0$$

$$\tan(\omega_0 \tau) = -\frac{1}{Q} \Leftrightarrow \left[\tau = \frac{1}{\omega_0} \left(p\pi - \arctan\left(\frac{1}{Q}\right) \right) \right] \text{ per}$$

avec $p=1$;

$$\tau = \sqrt{\frac{6,3 \cdot 10^{-6}}{2,6}} \left(\pi - \arctan\left(\frac{1}{5}\right) \right) = 4,6 \cdot 10^{-3} \text{ s}$$

D'après le graphe, $\tau_{\text{exp}} (a_0 = 1 \text{ mm}) = 5 \cdot 10^{-3} \text{ s}$

On obtient une droite du bon ordre.

Si on néglige le terme en $\frac{1}{\omega_0}$

$$\tau \approx \frac{\pi}{\omega_0} = 4,9 \cdot 10^{-3} \text{ s}$$

$$\frac{\Delta \tau}{\tau} = \frac{4,9 - 4,6}{4,6} = 6,7 \%$$

13) Si on accepte l'approximation $\tau \approx \frac{\pi}{\omega_0}$

$$\tau = \pi \sqrt{\frac{m}{k}} = \pi \sqrt{\frac{meV}{K}} = \pi \sqrt{\frac{me}{K}} (2\pi a_0)^{3/2}$$

$$\tau = \sqrt{\frac{8\pi^5 me}{K} a_0^{3/2}} \rightarrow \log \tau = \frac{3}{2} \log a_0 + \beta$$

On observe que les points représentant $\log(\tau)$ en fonction de $\log(a_0)$ semblent bien aléatoirement repartis autour d'une droite.

$$\text{pour } (a_0)_1 = 3,8 \cdot 10^{-4} \text{ m} \rightarrow (\tau)_1 = 10^{-3} \text{ s}$$

$$(a_0)_2 = 10^{-3} \text{ m} \rightarrow (\tau)_2 = 5 \cdot 10^{-3} \text{ s}.$$

$$\log \tau = \alpha \log a_0 + \beta$$

$$\Delta \alpha = \frac{\log(\tau)_2 - \log(\tau)_1}{\log(a_0)_2 - \log(a_0)_1} = 1,6$$

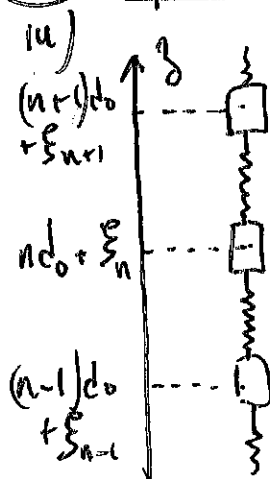
(5)

$\left| \frac{\alpha - 3/2}{3/2} \right| = 7\% \dots$ de l'ordre de l'approximation précédemment acceptée.

de même,

$$\xi_{n+1}(t) = \xi(g=nd_0, t) + d_0 \left(\frac{\partial \xi}{\partial g} \right)_{nd_0} + \frac{d_0^2}{2} \left(\frac{\partial^2 \xi}{\partial g^2} \right)_{nd_0}$$

III Modèle ondulatoire du rebond



PFD sur la $n^{i\text{ème}}$ masse :

$$M \frac{d^2 \ddot{z}_n}{dt^2} = -K(z_{n+1} - z_n - d_0) / (-\ddot{u}_g)$$

$$-K(z_n - z_{n-1} - d_0) \ddot{u}_g$$

$$z_n = nd_0 + \xi_n \rightarrow \ddot{z}_n = \ddot{\xi}_n$$

$$\begin{aligned} M \ddot{\xi}_n &= K((n+1)d_0 + \xi_{n+1} - nd_0 - \xi_n - d_0) \\ &\quad - K(nd_0 + \xi_n - (n-1)d_0 - \xi_{n-1} - d_0) \end{aligned}$$

$$M \ddot{\xi}_n = k(\xi_{n+1} - \xi_n) - k(\xi_n - \xi_{n-1})$$

$$\ddot{\xi}_n + \frac{k}{M} (\xi_n - \xi_{n+1} - \xi_{n-1}) = 0$$

$$15) \xi(g=n d_0, t) = \xi(t)$$

$$\xi_{n+1}(t) = \xi(g=(n+1)d_0, t)$$

$$\xi_{n+1}(t) = \xi(g=nd_0, t) + d_0 \left(\frac{\partial \xi}{\partial g} \right)_{nd_0} + \frac{d_0^2}{2} \left(\frac{\partial^2 \xi}{\partial g^2} \right)_{nd_0}$$

$$\begin{aligned} \frac{\partial^2 \xi}{\partial g^2} &+ \frac{K}{m} \left[2\xi(g, t) - \xi(g, \delta t) - d_0 \left(\frac{\partial \xi}{\partial g} \right) - \frac{d_0^2}{2} \left(\frac{\partial^2 \xi}{\partial g^2} \right) \right] = 0 \\ &- \xi(g, t) + d_0 \left(\frac{\partial \xi}{\partial g} \right) - \frac{d_0^2}{2} \left(\frac{\partial^2 \xi}{\partial g^2} \right) = 0 \\ \frac{\partial^2 \xi}{\partial t^2} - \frac{k d_0^2}{M} \frac{\partial^2 \xi}{\partial g^2} &= 0 \Rightarrow \boxed{\frac{\partial^2 \xi}{\partial g^2} = \frac{M}{K d_0^2} \frac{\partial^2 \xi}{\partial t^2}} \\ \text{On a } c &= \sqrt{\frac{K d_0}{M}} \end{aligned}$$

Soit \vec{F} la force exercée par la partie inférieure sur la partie supérieure :

$$\vec{F} = -K(z_n - z_{n-1} - d_0) \ddot{u}_g$$

$$\vec{F} = -K(\xi_n - \xi_{n-1}) \ddot{u}_g = -K(\xi(g, t) - \xi(g-d_0, t)) \ddot{u}_g$$

(P1)

$$\boxed{\vec{F} = -K \left(\frac{\partial \xi}{\partial g} \right) d_0 \ddot{u}_g}$$

$$16) \xi(x, t) = \xi_0 \sin(\alpha x - \phi) \cos(\omega t - \psi) \quad (6)$$

$$\frac{\partial^2 \xi}{\partial t^2} = -\omega^2 \xi ; \frac{\partial^2 \xi}{\partial g^2} = -d^2 \xi$$

$$-d^2 \xi(g, t) = \frac{1}{c^2} (-\omega^2) \xi(g, t)$$

Vraie $\xi(g, t) \Rightarrow d^2 = \left(\frac{\omega}{c}\right)^2 \Rightarrow d = \frac{\omega}{c}$

17) CL $\xi(g=0, t) = 0$ (Sol rigide)

$$0 = \xi_m \sin(-\varphi) \cos(\omega t) \quad \forall t$$

$$\text{Ls. } \sin(\varphi) = 0 \Rightarrow \boxed{\varphi = 0}$$

18) Au niveau de la surface supérieure pas de force exercée au dessus le bâche.

$$\Rightarrow \left(\frac{\partial \xi}{\partial g} \right)_{g=2a_0} = 0$$

$$\frac{\partial \xi}{\partial g} = \xi_n d \cos(\alpha g) \cos(\omega t + \psi)$$

$$\left(\frac{\partial \xi}{\partial g} \right)_{g=2a_0} = \xi_n d \cos(\alpha a_0) \cos(\omega t + \psi) = 0 \quad \forall t$$

Donc $\cos(\alpha a_0) = 0 \quad \text{ie} \quad \alpha a_0 = \frac{(i+1)\pi}{2} \quad i \in \mathbb{Z}$

$$\alpha_i = \frac{\omega_i}{c} = \frac{(i+1)\pi}{4a_0} \Rightarrow \boxed{\omega_i = \frac{(i+1)\pi c}{4a_0}}$$

19) Pour le mode fondamental, $\omega_0 = \frac{\pi c}{4a_0}$

$$\xi(g, t) = \xi_n \sin\left(\frac{2\omega_0}{c} g\right) \cos(\omega_0 t)$$

Au moment du décollement, il n'y a plus de force de compression qui s'exerce sous la partie basse de la goutte.

Donc $\left(\frac{\partial \xi}{\partial g} \right)_{g=0} = 0 \quad \text{à l'instant } t=0$

$$\xi_n \times \frac{2\omega_0 a_0}{c} \cos\left(\frac{2\omega_0 a_0}{c} \times 0\right) \cos(\omega_0 \cdot 0) = 0$$

$$\omega_0 \cdot 0 = \frac{n\pi}{2} \quad 0 \text{ est le premier instant non nul positif possible}$$

$$\text{Donc } n = 1$$

$$0 = \frac{\pi \times 4a_0}{2\pi c} = \boxed{\frac{2a_0}{c} = 0}$$

$$20) \frac{1}{K_{tot}} = \frac{1}{k} + \frac{1}{k} \Rightarrow \boxed{K_{tot} = \frac{k}{2}}$$

$$21) \text{ Il y a } N \text{ ressorts} \rightarrow \frac{1}{k} = \sum_{i=1}^N \frac{1}{K_i} = \frac{N}{K}$$

$$k_r = \frac{K}{N} = 12\pi A \Rightarrow K = 12\pi AN$$

$$22) C = \frac{L_{ao}}{c} = L_{ao} \sqrt{\frac{M}{Kd_0^2}} = \frac{L_{ao} N}{L_{ao}} \sqrt{\frac{M}{K}}$$

$$C = N \sqrt{\frac{m}{N^2 k}} = \sqrt{\frac{m}{k}} = \sqrt{\frac{\pi L_{ao}^2 \times L_{ao} \rho_e}{12\pi A}}$$

$$C = \sqrt{\frac{\rho_e L_{ao}^3}{6A}}$$

$$\underline{AN:} \quad C = \sqrt{\frac{10^3 \times (10^{-3})^3}{6 \times 7 \cdot 10^{-2}}}$$

$$C = 1,6 \text{ m/s} \quad \underline{\text{On retrouve l'odg de la Q13}}$$

23) Propagation des ondes sonores dans l'eau

$(c_{\text{eau}} = \frac{1}{\sqrt{\mu_e K_s}}) \Rightarrow$ Mesurer c_{eau} avec un émetteur US et un récepteur US.

$$24) C = \frac{2e}{c_{\text{eau}}} = \frac{2 \cdot 10^{-3}}{1,4 \cdot 10^3} = 1,43 \cdot 10^{-6} \text{ s} \ll C \text{ modèle précédent}$$

On ne tient pas compte de la compressibilité de l'eau.

IV Étude des pertes lors du rebond

25) Ecoulement incompressible $\rightarrow \nabla \cdot \vec{v} = 0$

$$\frac{\partial \vec{v} \cdot \vec{e}_x}{\partial x} + \frac{\partial \vec{v} \cdot \vec{e}_y}{\partial y} = 0$$

$\vec{v} \perp \vec{e}_z$

Donc $\frac{\partial v}{\partial x} = 0$

$\vec{v} = v(y) \vec{e}_x$

Accélération des particules de fluide :

$$\frac{D\vec{v}}{Dt} = (\vec{v} \cdot \vec{\text{grad}}) \vec{v} + \frac{\partial \vec{v}}{\partial t}$$

$$(\vec{v} \cdot \vec{\text{grad}}) \vec{v} = \left[v(y) \vec{e}_x \cdot \left(\frac{\partial}{\partial x}, \frac{\partial}{\partial y}, \frac{\partial}{\partial z} \right) \right] \vec{v} = 0$$

Ecoulement stationnaire

$$(\vec{v} \cdot \vec{\text{grad}}) \vec{v} = \left[v(y) \vec{e}_x \cdot \underbrace{\frac{\partial}{\partial y} \vec{e}_y}_{\vec{e}_z} \right] \vec{v} = \vec{0}$$

$$26) -\vec{\text{grad}} p + \eta D\vec{v} = \vec{0}$$

$$\vec{\text{grad}} p = \frac{dp}{dy} \vec{e}_y \quad D\vec{v} = \begin{pmatrix} Dv_x \\ 0 \\ 0 \end{pmatrix} = Dv_x \vec{e}_x$$

$$\Delta \vec{v} = \frac{d^2 v}{dy^2} \vec{e}_x$$

Donc l'éq. de Navier-Stokes donne:

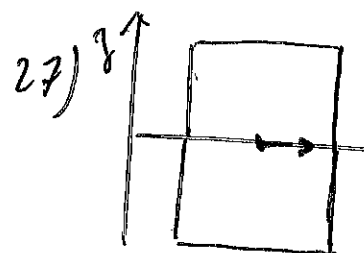
$$-\frac{dp}{dy} \vec{e}_y + \eta \frac{d^2 v}{dy^2} \vec{e}_x = 0$$

$\frac{dp}{dy} = 0 \rightarrow p = \text{cte} \Rightarrow$ champ de pression uniforme

$$\frac{d^2 v}{dy^2} = 0 \Rightarrow v(y) = A y + B$$

$$v(y=0) = 0 = B \quad v(y=e) = Ae = U$$

$$v(y) = \frac{U}{e} y$$



$$d\vec{F} = \eta \frac{dv}{dy} dS \vec{e}_x$$

$$f_s = \frac{\eta U}{e}$$

$$27) \frac{dP}{dx} = \eta \left(\frac{dv}{dy} \right)_{\text{grad}} dS \vec{e}_x \cdot \vec{v}_{\text{right}}$$

$$\delta P_{\text{grad}} = \frac{\eta}{2} \left(\frac{dv^2}{dy} \right)_{\text{grad}} dxdy$$

$$\text{De même en } y, \delta P_y = -\frac{\eta}{2} \left(\frac{dv^2}{dy} \right)_y dxdy$$

$$dP_{\text{ext}} = \delta P_{\text{grad}} + \delta P_y = \frac{\eta}{2} \left[\left(\frac{dv^2}{dy} \right)_{\text{grad}} - \left(\frac{dv^2}{dy} \right)_y \right] dxdy$$

$$dP_{\text{ext}} = \frac{\eta}{2} \frac{d^2 v^2}{dy^2} dxdy = \frac{\eta}{e} \frac{d^2}{dy^2} \left(\frac{U^2}{e} \right) dxdy$$

$$dP_{\text{ext}} = \frac{\eta U^2}{e^2} \times 2dV = \frac{\eta U^2}{e^2} dV = \rho dV = dP_{\text{ext}}$$

$dP_{\text{ext}} > 0$ c'est grâce aux forces de viscosité qu'il y a mise en mouvement des différentes couches de fluide.

28) Théorème de la Puissance cinétique:

$$\frac{dE_c}{dt} = P_{\text{ext}} + P_{\text{int}} = 0 \quad (v = \text{cte})$$

$$P_{\text{int}} = -P_{\text{ext}} < 0$$

(g)

la puissance transmise aux particules de fluide est dissipée sous forme de chaleur.

$$30) \frac{1}{e} \frac{de}{dt} \sim \frac{1}{\tau}$$

$$\frac{dP}{dt} = \frac{me}{\tau^2} \dots$$

$$\Delta E \sim \frac{dP}{dt} \times \tau \times \pi R^3 = \frac{\pi R^3 me}{\tau} = \Delta E$$

$$31) E = \frac{1}{2} m v_0^2 = \frac{1}{2} \mu e \pi R^3 v_0^2$$

$$\frac{E}{\Delta E} = \frac{\mu e \pi R^3 v_0^2 \tau}{\pi R^3 me} = \frac{me g h \tau}{\rho me} = \frac{E}{\Delta E}$$

$$\frac{E}{\Delta E} = \frac{10^3 \times 1,4 \times 5 \cdot 10^{-3}}{2 \times 10^{-3}} = 5 \cdot 10^3 \gg 1$$

Tres peu d'énergie est perdue par la goutte lors du rebond.

$$32) Re = \frac{\mu e v_0 L a_0}{\rho e} = \frac{10^3 \times 1,4 \times 2 \times 10^{-3}}{1,8 \cdot 10^{-5}}$$

Re = 2 \cdot 10^3 → Difficile de croire à un

réglage d'écoulement lamininaire ...

$$\frac{E}{\Delta E} = \frac{\mu e v_0^2 \tau}{2 \mu e Re} = \frac{5 \cdot 10^3}{2 \cdot 10^3} = 2,5$$

Cette fois-ci E et ΔE sont du même ordre et cela peut expliquer le nombre limité de rebonds -

II Étude des pertes dans l'air

33) On néglige la traînée (et la poussée d'Archimède) PFD sur la goutte : (goutte uniquement soumise à son poids)

$$m \frac{d\vec{v}}{dt} + \vec{mg} \rightarrow \vec{s}(t) = -\vec{gt} \rightarrow g(t) = -\frac{1}{2} gt^2$$

au niveau de l'altitude z : $\frac{g(z)}{g} = t$

$$z = \sqrt{Lgh - g}$$

$$34) Re(g) = \frac{Lgh}{\eta_a} = \frac{Lah}{\eta_a} \sqrt{Lg(h-g)}$$

$$Re = \frac{L \times 10^{-3} \times 1,3}{1,8 \cdot 10^{-5}} \sqrt{L \times 9,8 \times 10^{-2}} = 64$$

(b)

Dès le début de la chute $Re \gg 1$

Donc on ne peut pas modéliser l'écoulement par un écoulement lamininaire \rightarrow Traînée quadratique en r plus pertinente qu'une traînée linéaire.

(Méthode perturbative)

35) Au niveau du sol: $v = \sqrt{2gh}$

$$F = \pm \mu_a T a_0^2 \times 2gh \vec{g}$$

$$PFD: m \frac{d\vec{v}}{dt} = \vec{m}g \pm \mu_a T a_0^2 h \vec{g}$$

$$m \frac{d\vec{v}}{dr} = \vec{m}g \pm \frac{3}{4a_0} \frac{\pi}{3} a_0^3 \mu_a h \vec{g}$$

$$m \frac{d\vec{v}}{dt} = \vec{m}g \pm \frac{3h}{4a_0} \vec{m}g = \vec{m}g \pm$$

$$\vec{g}_+ = -g \pm \vec{e}_y = g(1 \pm \gamma) \vec{e}_y; \gamma = \frac{3h}{4a_0} \frac{\mu_a}{m_e}$$

$$\gamma = \frac{3 \times 10^{-1} \times 1,3}{4 \times 10^{-3} \times 10^3} = 2,10^1$$

γ n'est pas négligeable devant 1.
Il est donc pertinent de le prendre en compte.

36) Au moment du 1^{er} choc:

$$v = \sqrt{2gh}, \text{ elle repart donc vers le haut avec cette même vitesse (pas de dissipation d'énergie durant le choc).} \text{ Après le choc, } \frac{d\vec{v}}{dt} = -g + \vec{e}_y \rightarrow \int \frac{dv}{\sqrt{2gh}} = \int -g dt$$

$$v(t) = \sqrt{2gh} = -gt \rightarrow g(t) = -\frac{1}{2}g_+ t^2 + \sqrt{2gh_+} t$$

Au moment où l'altitude max est atteinte

$$t = \frac{\sqrt{2gh_+}}{g_+} \text{ et } g = h_1 \text{ tel que}$$

$$h_1 = -\frac{1}{2}g_+ \left(\frac{\sqrt{2gh_+}}{g_+} \right)^2 + \sqrt{2gh_+} \sqrt{\frac{2gh_+}{g_+}}$$

$$h_1 = -\frac{g \cdot h}{g_r} + \frac{g \cdot h}{g_r} = \frac{g \cdot h}{g_r}$$

$$h_1 = \frac{1-r}{1+\gamma} h$$

$$\text{On aura de même } h_2 = \frac{1-r}{1+\gamma} h_1$$

6 Suite géométrique
$$h_n = \left(\frac{1-r}{1+\gamma}\right)^n h$$

$$N < \frac{\ln 10}{\ln \left(\frac{1+r}{1-\gamma} \right)} = \frac{\ln 10}{\ln \left(1 + \frac{3h}{2a_0 \mu e} \right) / \left(1 - \frac{3h}{2a_0 \mu e} \right)}$$

AN: $N < \frac{\ln 10}{\ln \left(\frac{1 + 2 \cdot 10^{-1}}{1 - 2 \cdot 10^{-1}} \right)} = 5,7$

$N = 5 \rightarrow$ Conforme à ce qui est annoncé en début de sujet.

37) Comme à la question 10, on considère que les résonds sont perceptibles tant que la hauteur de résond est supérieure à 10% de la hauteur initiale i.e. $\underline{h_N > 0,1 h}$

$$\left(\frac{1-r}{1+\gamma}\right)^N h > 0,1 h \Leftrightarrow N \ln \left(\frac{1-r}{1+\gamma}\right) > \ln(0,1)$$

$$N \cdot \ln \left(\frac{1+r}{1-\gamma}\right) < -\ln(0,1)$$

(12)

CB PC 2025

Problème ① : Les sous-marins

(ex PC
2023)

I Hydrostatique du sous-marin en plongée

① Bilan des forces pressantes sur le volume dV .

$$dF_p(g) + dF_p(g*rg) + dF_g = dF_p$$

les forces latérales se compensent deux à deux donc $dF_p = [F_p(g) - F_p(g*rg)] \vec{e}_z$

$$\int dF_p = - \frac{dF_p}{dz} dz \vec{e}_z = - \frac{dp(g)}{dz} dz \vec{e}_z$$

$$\vec{F}_v = - \frac{dp}{dz} \vec{e}_z$$

② $\vec{p}_v = \vec{\rho}g$ \Rightarrow Equilibre du volume dV dans le ref. terrestre (généralisé)

$$\sum \vec{F}_v = \vec{0} \Rightarrow - \frac{dp}{dz} \vec{e}_z + \vec{\rho}g = 0$$

③ $\int dp = \int_{p_0}^p \rho g dz \Rightarrow p(g) = p_0 + \rho g z$

④ $\vec{F}_T = - \rho_0 \pi R^2 L \vec{g}$

Cette force est opposée au poids du volume de fluide déplacé.

Cela représente la résultante des forces de pression sur la coque du sous-marin.

⑤ les ballasts emprisonnent de l'air qui permet d'augmenter ou diminuer la masse volumique du sous marin et ainsi permettre au système de régler sa profondeur d'équilibre ou de se déplacer verticalement.

$$p(g_c) = 10^5 + 1000 \times 9,8 \times 300 = 30,4 \cdot 10^5 \text{ Pa}$$

$$p_c = 30,4 \text{ bar}$$

$$P_{\max} = \frac{F}{S} = \frac{mg}{S} = \frac{100 \times 9,8}{10^{-6}} = 9,8 \cdot 10^8 \text{ Pa} \quad ①$$

le sous-marin peut parfaitement résister à la pression exercée par l'eau à la profondeur $g_c = 300 \text{ m}$.

II Quelques aspects de la cavitation.

⑥ Fluide incompressible \Rightarrow Ecoulement incompressible

$$v_1 S_1 = v_2 S_2 \Leftrightarrow \begin{matrix} \text{Conservation} \\ \text{du débit} \\ \text{volumique} \end{matrix}$$

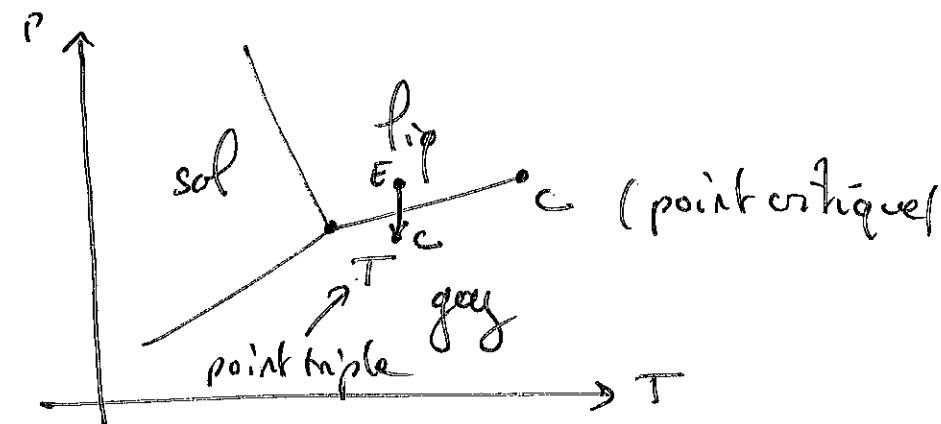
⑦ le Th de Bernoulli peut être appliqué sur une ligne de courant si :

- Régime d'écoulement stationnaire parfait, incompressible.
- fluide homogène.
- \vec{g} uniforme.

Dans ces conditions, sur la ligne (EC)

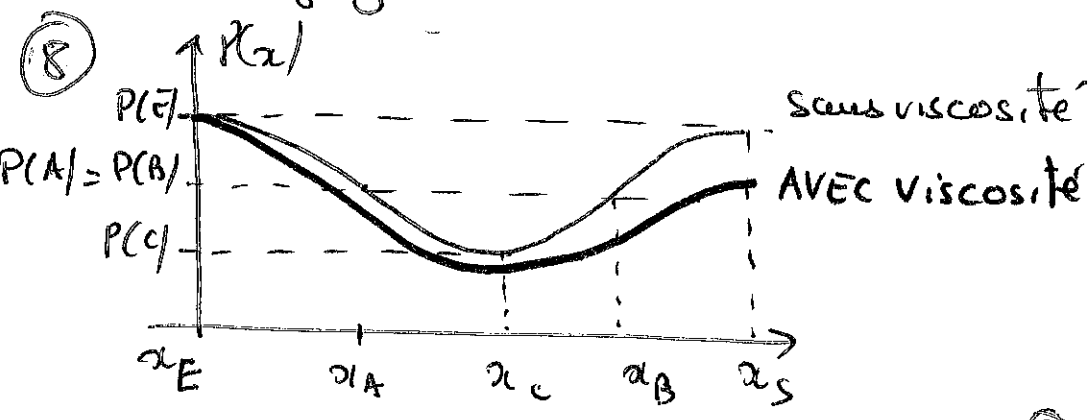
$$\frac{P_1}{\rho} + \frac{v_1^2}{2} + g g_1 = \frac{P_2}{\rho} + \frac{v_2^2}{2} + g g_2$$

$$\text{Or } g_1 = g_2 \Rightarrow P(C) - P(E) = \frac{v_1^2 - v_2^2}{2} \rho$$



le rétrécissement implique une accélération du fluide $\Rightarrow v_2 = v_1 \frac{S_1}{S_2} > v_1$

Donc $P(C) < P(E)$ il est donc possible de passer du domanche de stabilité de l'eau liquide à l'eau gazeuse.



la pression le long de la canalisation diminue davantage en présence d'effets de viscosité = Perte de charge

⑨ Un sous-marin est plus discret s'il y a moins de bulles autour des hélices.

la formation de bulles est favorisée en haut chaud \rightarrow Le sous-marin est plus discret en eau froide.

les bulles se forment plus facilement à basse pression donc en haut de l'hélice

⑩ Équation locale de conservation de la masse:

$$\operatorname{div} \vec{j} + \frac{\partial \rho}{\partial t} = 0 \quad \text{avec } \vec{j} = \rho \vec{v}$$

Paroi imperméable: $\vec{v}(r=R, t) = \dot{R}(t) \hat{e}_r$
(t écoulement parfait)

$$\operatorname{div} \vec{v} + \frac{\partial \rho}{\partial t} = 0$$

l'eau est incompressible $\frac{\partial \rho}{\partial t} = 0$; homogène $\operatorname{div} \vec{v} = \rho \operatorname{div} \vec{v}$

l'écoulement est incompressible $\Rightarrow \operatorname{div} \vec{v} = 0$

$$\frac{1}{r^2} \frac{\partial}{\partial r} (r^2 v) = 0 \Rightarrow r^2 v = f(t),$$

$$\text{Or pour } r=R; R^2 v(R, t) = f(t) = R^2 \dot{R}$$

$$\text{Donc } v(r, t) = \frac{R^2}{r^2} \frac{dR}{dt}$$

$$\text{On pose } \boxed{A(H) = -R^2 \frac{dR}{dt} \text{ et } v(r, t) = -\frac{A(H)}{r^2}}$$

$$⑪ \rho \left[\frac{\partial \vec{v}}{\partial t} + (\vec{v} \cdot \operatorname{grad}) \vec{v} \right] = \vec{e}_q - \operatorname{grad} p$$

○ (on néglige l'effet de la pesanteur)

$$(\vec{v} \cdot \operatorname{grad}) \vec{v} = v_r \frac{\partial v_r}{\partial r} \hat{e}_r$$

$$\operatorname{grad} p \cdot \hat{e}_r = \frac{\partial p}{\partial r}$$

On projette la relation d'Euler sur (\hat{e}_r) ⑬

$$\rho \left(\frac{\partial v}{\partial t} + v \frac{\partial v}{\partial r} \right) = - \frac{\partial p}{\partial r}$$

$$-\frac{\partial p}{\partial r} = + \rho_0 \frac{\partial}{\partial t} \left(\frac{-A(H)}{r^2} \right) + \left(\frac{\rho A(H)}{r^2} \right) \frac{\partial}{\partial r} \left(\frac{A(H)}{r^2} \right)$$

$$\frac{\partial p}{\partial r} = \frac{\rho_0}{r^2} A(H) - 2 \frac{\rho_0}{r^5} A(H)^2$$

$$(1) \frac{d R(H)}{dt} = - \underbrace{\sqrt{\frac{2}{3} \rho_0 (P_{\infty,0} - P_{\text{sat}}(t))}}_{\text{f}} \left[\left(\frac{R_0}{R(H)} \right)^3 - 1 \right]^{1/2}$$

$$\int_{R_0}^R \frac{dR(H)}{\left[\left(\frac{R_0}{R(H)} \right)^3 - 1 \right]^{1/2}} = \int_0^K K dt \quad \text{on pose } u = \frac{R}{R_0}$$

$$du = \frac{dR}{R_0}$$

$$\int_{R_0}^R \frac{d(R(H))}{R_0 \left[\left(\frac{R_0}{R(H)} \right)^3 - 1 \right]^{1/2}} = - \int_0^{R_0} \frac{dR}{\left(\left(\frac{R_0}{R} \right)^3 - 1 \right)^{1/2}} = - R_0 \int_0^1 \frac{du}{\left(\frac{1}{u^3} - 1 \right)^{1/2}}$$

$$= - R_0 \int_0^1 \sqrt{\frac{u^3}{1-u^3}} du = - R J$$

$$R J = K \tau \Rightarrow \tau = \frac{R J}{\sqrt{\frac{2}{3} \rho_0 (P_{\infty,0} - P_{\text{sat}}(t))}}$$

$$\text{AN: } \tau = \frac{1.10^{-3} \times 0.747}{\sqrt{\frac{2}{3} \cdot 10^3 (10^5 - 2.4 \cdot 10^3)}}$$

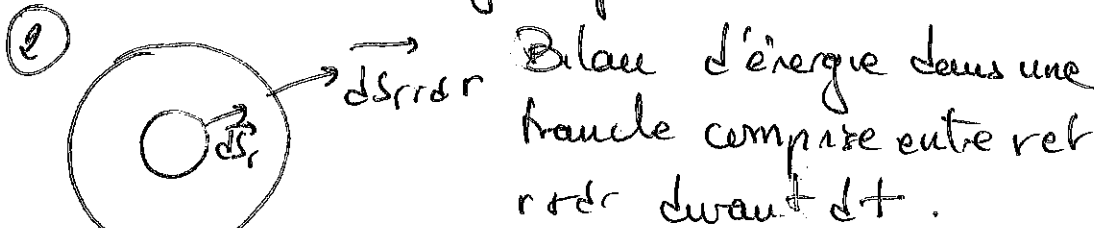
$\tau = 185 \mu s$ → Durée de vie très faible comparativement à la durée de vie d'une balle dans une boisson prétilante.

Problème 2 : Animaux marins

(D'après e3a PC)
2021

I Homeothermie des phoques

- ① conductibilité thermique, s'exprime en $\text{W K}^{-1} \text{m}^{-1}$
 → pointe vers les régions froides car le phénomène de diffusion thermique tend à homogénéiser la température du milieu par transfert d'énergie des zones chaudes vers les zones froides.



$$\text{En RP ; } d^2U = 0$$

$$1^{\text{er}} \text{ principe : } d^2U = \iint_{S_c} \vec{j}_d(r) \cdot \vec{ds} dt - \iint_{S_{rdr}} \vec{j}_d(rdr) \cdot \vec{ds}_{rdr} dt$$

$$0 = 2\pi r L \left[\vec{j}_d(r) \cdot \vec{e}_r - \vec{j}_d(r+dr) \cdot \vec{e}_r \right] dt$$

$$\text{DL}_1 : \boxed{\frac{d}{dr} (r j_d(r)) = 0} \quad \text{(de Fourier)}$$

$$-\frac{d}{dr} \left(\lambda r \nabla T \right) = 0 \Rightarrow \frac{d}{dr} \left(r \frac{dT}{dr} \right) = 0$$

$$\frac{dT}{dr} = \frac{A}{r} \Leftrightarrow \int_{r_1}^{r_2} \frac{dT}{r} = \int_{r_1}^{r_2} \frac{A}{r} dr$$

$$T(r) = A \ln \left(\frac{r}{r_1} \right) + T_1$$

$$\text{CL: } T(r_2) = T_2 = A \ln \left(\frac{r_2}{r_1} \right) + T_1$$

$$A = \frac{T_2 - T_1}{\ln \left(\frac{r_2}{r_1} \right)} \Rightarrow T(r) = \frac{T_2 - T_1}{\ln \left(\frac{r_2}{r_1} \right)} \ln \left(\frac{r}{r_1} \right) + T_1$$

$$③ \Phi = \iint \vec{j}_d(r) \cdot \vec{ds} = 2\pi r L \times -\lambda \frac{dT}{dr}$$

$$\Phi = -2\pi r L \frac{(T_2 - T_1)}{\ln \left(\frac{r_2}{r_1} \right)} \times \frac{1}{r}$$

$$\boxed{\Phi = \frac{2\pi \lambda L (T_2 - T_1)}{\ln \left(\frac{r_2}{r_1} \right)}}$$

$$④ R = \frac{T_2 - T_1}{\Phi} = \frac{1}{2\pi \lambda L} \ln \left(\frac{r_2}{r_1} \right)$$

$$⑤ \text{Énergie perdue} = \Phi \Delta t = \frac{2\pi \lambda L (\Theta_q - \Theta_o)}{\ln \left(\frac{r_2}{r_1} \right)} \Delta t$$

5

$$\text{E}_\text{h perdue} = \frac{2\pi \times 7.65^2 \times 1.6 \times (36.5 - 2) \times 24 \times 3600}{\ln\left(\frac{25}{20}\right)}$$

$$\underline{\text{E}_\text{h perdue} = 9.4 \text{ MJ}}$$

$$\underline{\text{E}_\text{nourriture} = 4.6 \times 4 = 18.4 \text{ MJ}}$$

$$\left\{ \begin{array}{l} \Rightarrow \frac{\text{E}_\text{h perdue}}{\text{E}_\text{nourriture}} = 50\% \\ \text{E}_\text{nourriture} \end{array} \right.$$

La moitié de l'énergie apportée par la nourriture est au maintien de la température corporelle du phoque.

$$(Rq: \text{E}_\text{h perdue} = 11.5 \text{ MJ avec } \ln\left(\frac{30}{25}\right) \text{ accepté})$$

II Echolocation des dauphins

$$\textcircled{7} \quad p(\tau, t) = p_0 + p_1(\tau, t) \text{ avec } p_1 \ll p_0$$

$$p(\tau, t) = p_0 + p_1(\tau, t) \text{ avec } p_1 \ll p_0$$

$$v(\tau, t) \ll c_{\text{son}}. \quad \textcircled{6} \quad c_{\text{son}} = 340 \text{ m/s}$$

Dans l'approximation acoustique, les vibrations correspondent à de faibles variation de pression ou de volume volumique se propageant à une vitesse grande devant la vitesse de vibration selon un écoulement parfait.

$$\left[\frac{1}{\mu_0 K_s} \right] = \text{L}^2 \text{T}^{-2}$$

$$\textcircled{8} \quad c = \frac{1}{\sqrt{\mu_0 K_s}} = \frac{1}{\sqrt{1030 \times 4.9 \cdot 10^{-10}}} \quad \underline{c = 1407 \text{ m/s}}$$

(les ondes sonores

se propagent beaucoup plus vite dans l'eau que dans l'air (c_{sonair} ≈ 340 m/s)

$$\textcircled{9} \quad f \approx 125 \text{ kHz} \Rightarrow \underline{\text{Ultrasons.}}$$

$$\frac{\Delta f}{f} = 25 \text{ kHz}$$

$$\boxed{\frac{\Delta f}{f} T_c = 1} \Rightarrow T_c = \frac{1}{25 \cdot 10^3} = \underline{40 \mu s}$$

$\Delta t \sim 80 \mu s$ (même ordre que T_c)

600 clics par seconde $\Delta t_{\text{clic}} = 1.7 \text{ ms}$.

$\Delta t_{\text{clic}} \gg \Delta t$ les clics sont bien séparés.

$L_c = c T_c = 5.6 \text{ cm}$. Commentaire?

$\textcircled{10}$ Evolution adiabatique vérifiant la loi de Laplace: $p(t)/V^{1.4} = \text{cte}$

$$\frac{dp}{p} + \gamma \frac{d(V/V_{t2})}{V_{t2}} = 0$$

⑥

$$\frac{(p_{\text{ext}} + p(\xi)) - p_{\text{ext}}}{p_{\text{ext}}} = \gamma \frac{s(x+\xi-x)}{V(1+sx)}$$

$$p(\xi) = -\frac{\gamma p_{\text{ext}} \xi s}{V} \left(1 - \frac{sx}{V}\right)$$

Or $\frac{\delta\xi}{V} \times \frac{sx}{V}$ est d'ordre 2

Donc à l'ordre 1, $p(\xi) = -\frac{\gamma \delta \xi}{V} p_{\text{ext}}$

2^e loi de Newton appliquée à l'élément de fluide,

$$\sum m \frac{d^2 \vec{x}_e}{dt^2} = \sum \vec{F} = -p_{\text{ext}} s \vec{e}_x + (p_{\text{ext}} + p(\xi)) s \vec{e}_x$$

$$\vec{e}_x \cdot p_s s \ddot{\vec{x}} = p(\xi) s = -\frac{\gamma \delta \xi}{V} p_{\text{ext}}$$

$$\ddot{\xi} + \frac{\gamma s p_{\text{ext}}}{\rho V s_c} \xi = 0$$

$$\omega_0 = \sqrt{\frac{\gamma s p_{\text{ext}}}{\rho V s_c}} = 2\pi f_0$$

II $I(r_0=50m) = \frac{I(r=0)}{2} = I(r=0)e^{-dr_0}$

$$e^{-dr_0} = \frac{1}{2} \quad (\Rightarrow) \quad -dr_0 = -\ln \frac{1}{2} \quad (\Rightarrow) \quad \alpha = \frac{1}{r_0} \ln 2$$

$$d = \frac{1}{50} \ln 2 = 1,4 \cdot 10^{-2} \text{ m}^{-1}$$

$$R = \left(\frac{Z_{\text{éau}} - Z_{\text{obst}}}{Z_{\text{éau}} + Z_{\text{obst}}} \right)^2 = \left(\frac{1540 - 1480}{1540 + 1480} \right)^2$$

$$R = 3,9 \cdot 10^{-4} \quad (\text{Tres faible coeff de réflexion})$$

$$Q = R (e^{-\alpha r})^2$$

$$Q = 3,9 \cdot 10^{-4} \times \exp[-2 \times 1,4 \cdot 10^{-2} \times 75]$$

$$Q = 4,9 \cdot 10^{-5}$$

$$U = \frac{8fc}{2f}$$

$$U = \frac{1 \times 140 \times 125}{2 \times 125} = 5,6 \text{ m/s}$$

$$U = 14,6 \text{ km/h}$$

III Migration des baleines

12 les lignes de champs sont tangentes au champ \vec{B}

Soit $d\vec{l}$ un déplacement élémentaire le long d'une ligne de champ:

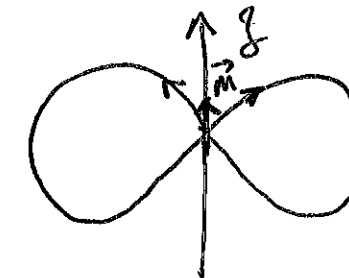
$$dl = 8k \vec{B} = 8k(\ell \cos \theta \vec{e}_\rho + \sin \theta \vec{e}_\theta)$$

$$\text{Or } d\vec{l} = d\rho \vec{e}_\rho + \rho d\theta \vec{e}_\theta + \rho \sin \theta d\phi \vec{e}_\phi$$

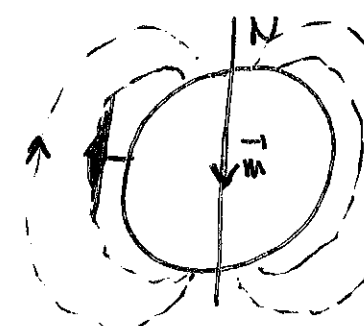
$$\begin{cases} d\rho = 8k \ell \cos \theta \\ \rho d\theta = 8k \ell \sin \theta \end{cases} \quad \frac{d\rho}{\rho d\theta} = \frac{\ell \cos \theta}{\sin \theta}$$

$$\int_{\rho_0}^{\rho} \frac{d\rho}{\rho} = \int_{\theta_0}^{\theta} \frac{\ell \cos \theta}{\sin \theta} d\theta \Rightarrow \ln\left(\frac{\rho}{\rho_0}\right) = \ell \int_{\theta_0}^{\theta} \frac{\sin \theta}{\sin \theta_0} d\theta$$

$$\ln\left(\frac{\rho}{\rho_0}\right) = \ell \ln \left| \frac{\sin \theta}{\sin \theta_0} \right| \Rightarrow \boxed{\rho = A / |\sin \theta|}$$



D'après la figure 10, les lignes de champ ont l'orientation opposée donc le dipôle \vec{m} pointe en fait vers le sud.



La boussole s'aligne avec les lignes de champ qui pointe vers le nord magnétique très proche de nord géographique.

$$13 \quad M = \frac{4\pi B R r^3}{\mu_0} = 7,9 \cdot 10^{22} \text{ Am}^2$$

$$14 \quad \text{Vers le Nord: } \left| \frac{\Delta \vec{e}_\rho}{\vec{e}_\rho} \right| = \left| \frac{\Delta B}{B} \right| = 20\%$$

Soit en moyenne $0,025\%/\text{km}$.

$$\text{Vers le Sud: } \left| \frac{\Delta \vec{e}_\rho}{\vec{e}_\rho} \right| = \left| \frac{\Delta B}{B} \right| = 40\%$$

Soit en moyenne $0,05\%/\text{km}$. C'est trop pour une baleine qui n'a pas fait le cours de magnétostatique.